

การวัดค่าสัมประสิทธิ์แรงต้านและสัมประสิทธิ์แรงยกของรถสามล้อเครื่องโดยใช้อุโมงค์ลม

Measurements of Drag and Lift Coefficients of Three-Wheeler Vehicles

in a Wind Tunnel

เทอදศักดิ์ ชัยสุริยะพันธ์¹ ชลaph แวนสมบูรณ์¹ และพีระพงษ์ ทีฆสกุล²

¹ภาควิชาวิศวกรรมเครื่องกล คณะวิศวกรรมศาสตร์ มหาวิทยาลัยธรรมศาสตร์ อ.คลองหลวง จ.ปทุมธานี 12121
โทรศัพท์ (02) 564-3001-9 โทรสาร (02) 564-3010

²ภาควิชาวิศวกรรมเครื่องกล คณะวิศวกรรมศาสตร์ มหาวิทยาลัยสงขลานครินทร์ อ.หาดใหญ่ จ.สงขลา 90112
โทรศัพท์/โทรสาร (074) 212-893 Email: Tekasakul@me.psu.ac.th

Therdsak Chaisuriyaphun,¹ Chonlaphop Pansomboon,¹ and Perapong Tekasakul²

¹Department of Mechanical Engineering, Faculty of Engineering, Thammasat University, Klong Luang, Pathum Thani 12121
Tel: (02) 564-3001-9 Fax: (02) 564-3010

²Department of Mechanical Engineering, Faculty of Engineering, Prince of Songkla University, Hat Yai, Songkla 90112
Tel/Fax: (074) 212-893 Email: Tekasakul@me.psu.ac.th

บทคัดย่อ

การศึกษาถึงสมรรถนะทางอากาศพลศาสตร์ของรถสามล้อเครื่อง หรืออุโมงค์ดูดได้การทำโดยใช้แบบจำลองซึ่งมีอัตราส่วนเท่ากับ 1:19 ของรถต้นแบบหรือรถของจริง ตัวแปรที่วัด คือค่าสัมประสิทธิ์แรงต้าน ของอากาศซึ่งมีผลโดยตรงต่อประสิทธิภาพการเคลื่อนที่ของยานพาหนะ และสัมประสิทธิ์แรงยก โดยทำการทดลองในอุโมงค์ลมแบบ เปิดความเร็วต่า่านิดใช้พัดลมผลักซึ่งมีขนาดของพื้นที่หันดัดใช้งาน เท่ากับ 320 x 320 มม ผลการทดลองที่ค่าเรียงในลําดับเท่ากับ 5.32E+04 พนวณค่าสัมประสิทธิ์แรงต้านของรถสามล้อเครื่องมีค่าสูงถึง 1.47 การ ปรับปรุงลักษณะภายนอกเพียงเล็กน้อยคือเพิ่มฝาครอบด้านหน้าและ พนังข้างทั้ง 2 ด้านของผู้โดยสารทำให้ค่า สัมประสิทธิ์แรงต้านลดลง เหลือเพียง 0.59 ส่วนค่าสัมประสิทธิ์แรงยกมีค่าเพิ่มขึ้นเล็กน้อย

Abstract

Aerodynamic behavior of three-wheeler vehicles was studied in an open-circuit, low-speed, subsonic wind tunnel of which the test section area is 320 x 320 mm. Test results show that drag coefficients on a model (1:19 ratio of prototype) can be as high as 1.47 at the Reynolds number of 5.32E+04. Slight modification of exterior of the vehicle by addition of a front cover and two flaps on the sides of the passenger seats reduces the drag coefficient to 0.59. The lift coefficient, on the other hand, is slightly increased by the modification.

1. บทนำ

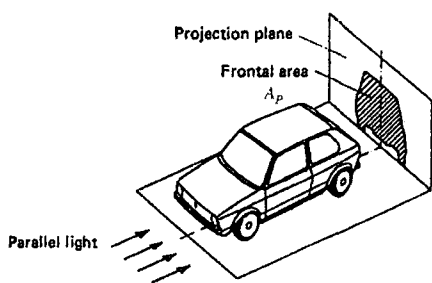
เนื่องจากการรถสามล้อเครื่องเป็นยานพาหนะที่มีการใช้กันเป็นอย่าง มากในเมืองไทย ดังนั้นจึงควรมีการวิเคราะห์สมรรถนะทางอากาศ พลศาสตร์ ทั้งนี้เพื่อที่เป็นข้อมูลในการปรับปรุงสมรรถนะของรถสามล้อ เครื่อง ความปลอดภัยและความสวยงามต่อผู้ใช้ การออกแบบและการปรับปรุงรูปทรงของรถสามล้อเครื่องให้มีสมรรถนะทางอากาศ พลศาสตร์ที่มีความเหมาะสมยังจะมีผลทำให้ประหยัดเชื้อเพลิง นอก จากนี้ยังมีผลต่อการทรงตัวของรถสามล้อเครื่องอีกด้วย สำหรับงานวิจัย นี้จะทำการหาค่าสัมประสิทธิ์แรงต้านและสัมประสิทธิ์แรงยกที่กระทำกับ แบบจำลองของรถสามล้อเครื่องจากการวัดแรงต้านและแรงยก โดยใช้ ชุดการทดลองที่สร้างขึ้นมาเอง

2. แรงต้าน แรงยก และความคล้ายคลึงกันทางอากาศพลศาสตร์

แรงที่เกิดขึ้นกับแบบจำลองที่นำมาทดสอบในอุโมงค์ลมจะ ประกอบไปด้วยแรงต้าน (drag force) แรงยก (lift force) แรงด้านข้าง (side force) และโมเมนต์อีก 3 องค์ประกอบ อุปกรณ์ที่ใช้ในการวัดแรง และโมเมนต์ต่างๆ ในอุโมงค์ลมคืออุปกรณ์วัดแรงและโมเมนต์ (balance) ซึ่งมีอยู่มากหลายชนิดขึ้นอยู่กับองค์ประกอบของแรง หรือโมเมนต์ที่ต้องการวัด

ในงานวิจัยนี้เราจะศึกษาเฉพาะแรงต้านและแรงยก แรงต้านของ อากาศนิยามจาก

$$F_D = C_D \frac{1}{2} \rho U^2 A_P \quad (1)$$



รูปที่ 1 พื้นที่ฉายของรถยนต์ซึ่งตั้งฉากกับสนามการไฟล์

โดยที่ C_D คือ ค่าสัมประสิทธิ์แรงต้าน (drag coefficient) U คือ ความเร็วของอากาศ ρ คือความหนาแน่นของอากาศ และ A_p คือพื้นที่ฉายซึ่งตั้งฉากกับสนามการไฟล์ดังแสดงในรูปที่ 1 ในทำนองเดียวกัน แรงยก (F_L) ของอากาศนิยามจาก

$$F_L = C_L \frac{1}{2} \rho U^2 A_L \quad (2)$$

โดยที่ C_L คือ ค่าสัมประสิทธิ์แรงยก (lift coefficient) และ A_L คือพื้นที่ซึ่งขวางกับสนามการไฟล์ ในที่นี้แรงยกรวมซึ่งมีค่าเป็นลบในทิศทางซึ่งขวางบันดาลเป็นลบในทิศทางซึ่ง

ในการทดลองทางอากาศพลศาสตร์ สิ่งที่สำคัญที่จะต้องคำนึงถึง คือความคล้ายคลึงกัน (similarity) ระหว่างตัวต้นแบบ (prototype) และแบบจำลอง (model) ความคล้ายคลึงกันแบ่งออกได้เป็น 3 ประเภทด้วยกันคือ ความคล้ายคลึงทางเรขาคณิต (geometric similarity) ความคล้ายคลึงทางด้านจลนศาสตร์ (kinematic similarity) และความคล้ายคลึงทางด้านพลศาสตร์ (dynamic similarity)

ความคล้ายคลึงทางเรขาคณิต หมายถึงความคล้ายคลึงทางด้านรูปร่าง แบบจำลองจะมีความคล้ายคลึงทางด้านเรขาคณิตกับตัวต้นแบบ ได้แก่ต่อเมื่อ แบบจำลองเป็นแบบจำลองที่สมบูรณ์แบบของตัวต้นแบบ นั่นก็หมายความว่า มิติเชิงเส้น (linear dimension) ของแบบจำลองและของตัวต้นแบบที่อยู่ในลักษณะเดียวกันจะต้องมีอัตราส่วนที่เท่ากัน หรือ เรียกว่ามีอัตราส่วนคงที่ในทุกมิติ ความคล้ายคลึงทางด้านจลนศาสตร์ หมายถึงความคล้ายคลึงกันทางด้านการเคลื่อนที่ แบบจำลองกับตัวต้นแบบจะมีความคล้ายคลึงทางด้านการเคลื่อนที่ได้แก่ต่อเมื่อแบบจำลอง กับตัวต้นแบบมีความคล้ายคลึงกันทางด้านเรขาคณิตอยู่ก่อนแล้วก่อน จากนั้นอัตราส่วนของความเร็วที่จุดต่างๆ ของแบบจำลองกับตัวต้นแบบที่อยู่ในลักษณะเดียวกันก็จะต้องเท่ากันอีกด้วย ส่วนความคล้ายคลึงทางด้านพลศาสตร์ หมายถึงความคล้ายคลึงกันทางด้านของแรงที่กระทำกับวัตถุแบบจำลองจะมีความคล้ายคลึงกันทางด้านพลศาสตร์กับตัวต้นแบบได้แก่ต่อเมื่อ อัตราส่วนของแรงที่กระทำกับแบบจำลองและตัวต้นแบบที่กระทำในลักษณะเดียวกันมีขนาดเท่ากัน

ความคล้ายคลึงกันทั้ง 3 ชนิดที่กล่าวมาเป็นส่วนที่มีความสำคัญ เป็นอย่างยิ่ง เพราะจะทำให้เราสามารถที่จะทำการทดลองรวมทั้ง วิเคราะห์เปรียบเทียบกันระหว่างตัวแบบจำลองของรถสามล้อเครื่องกับ

รถสามล้อเครื่องจริงได้โดยที่จะเป็นการประหยัดค่าใช้จ่ายในการทดสอบ

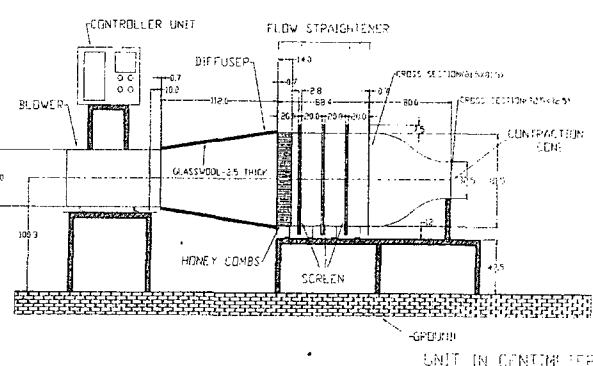
3. การทดลอง

3.1 อุโมงค์ลมความเร็วต่ำ

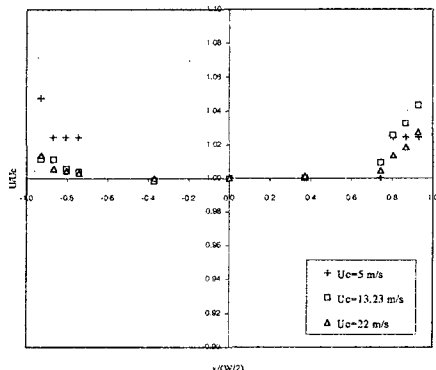
สำหรับในงานวิจัยนี้ได้ใช้อุโมงค์ลมความเร็วต่ำ ซึ่งมีความเร็วสูงสุดประมาณ 22 m/s โดยอุโมงค์ลมชนิดนี้เป็นแบบบางจารเปิด (open-circuit) ลมที่ได้จากอุโมงค์ลมไม่สามารถนำมายุนเวียนใช้อีก อุโมงค์ลมชนิดนี้มีข้อดีคือ "ไม่ลับชั้นช้อน และค่าใช้จ่ายในการก่อสร้างไม่สูงนัก ส่วนประกอบต่างๆ ของอุโมงค์ที่ใช้ล้ม (รูปที่ 2) ประกอบไปด้วย ชุดพัดลม (blower) ดิฟฟิวเซอร์ (diffuser) โฟล์วสเตรทเกนเนอร์ (flow straightener) และคonusแทรคชันโคน (contraction cone)

ลักษณะการไฟล์ของอากาศที่ออกจากอุโมงค์ลมเมื่อเสร็จสมบูรณ์ จะต้องมีคุณสมบัติคือ เป็นการไฟล์แบบรบเรียง (laminar) มีความเร็วเท่ากันตลอดหน้าตัดการไฟล์ (uniform) และเป็นการไฟล์คงที่ (steady) สำหรับอุโมงค์ลมในโครงงานนี้ มองเตอร์ที่ใช้ขับชุดพัดลมมีกำลังขนาด 2.2 kW ควบคุมรอบการหมุนด้วยอุปกรณ์ควบคุมความถี่ (inverter)

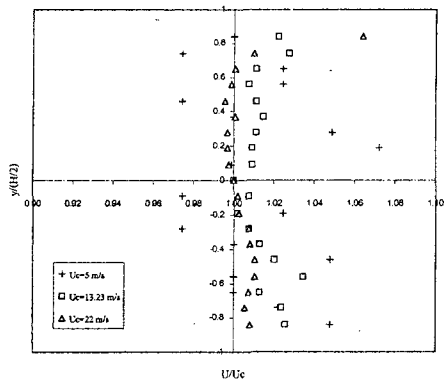
ดิฟฟิวเซอร์มีหน้าที่ลดความเร็วของอากาศที่มาจากชุดพัดลม โดยการเพิ่มพื้นที่หน้าตัดการไฟล์ ด้านหน้าของดิฟฟิวเซอร์มีลักษณะหน้าตัดเป็นรูปวงกลมเส้นผ่านศูนย์กลาง 500 mm และเปลี่ยนหน้าตัดเป็นแบบสี่เหลี่ยมจตุรัสขนาด $815 \text{ mm} \times 815 \text{ mm}$ ทางด้านปลาย มีความยาว 1120 mm มุ่งที่การออกจากแนวระดับมีค่า 8.9 องศา โฟล์วสเตรทเกนเนอร์ คือส่วนที่มีหน้าที่ปรับการไฟล์ของอากาศ ขนาดหน้าตัด $815 \text{ mm} \times 815 \text{ mm}$ ความยาว 800 mm ประกอบไปด้วยส่วนแรกคือ รังผึ้ง (honeycombs) ซึ่งจะทำหน้าที่ลดส่วนที่ไฟลุวน (swirl) ของอากาศ สร้างจากการนำท่อที่มีหน้าตัดรูปวงกลมเส้นผ่านศูนย์กลาง 14 mm ยาว 140 mm มาเรียงช้อนเหลือมีกันแบบรังผึ้ง ส่วนที่สองคือด้ามยาน (screens) มีหน้าที่ปรับการไฟล์ให้สม่ำเสมอต่อหน้าตัด رعاใช้ตาข่าย 3 ตัววางเรียงจากความถี่ 30 เส้น/mm , 50 เส้น/mm และ 80 เส้น/mm ส่วนคonusแทรคชันโคนนั้น ทำหน้าที่เร่งความเร็วของอากาศ ลดความแปรผันของความเร็วเฉลี่ย และลด turbulent intensity ก่อนเข้าสู่ส่วนที่ใช้ทดสอบ [3] ซึ่งสามารถทำได้โดยการลดพื้นที่หน้าตัด ซึ่งอุโมงค์ลมที่ใช้ในงานวิจัยนี้มีการเปลี่ยนแปลงหน้าตัดของคonusแทรคชันโคน ตามฟังก์ชัน sine เนื่องจากมีความซับซ้อนที่เปลี่ยนแปลงทีละน้อย ๆ อย่างต่อเนื่อง ซึ่งจะทำให้อากาศบริเวณทางออกมีลักษณะตามวัตถุประสงค์



รูปที่ 2 อุโมงค์ลมที่ใช้ในงานวิจัยนี้



รูปที่ 3ก การกระจายของความเร็วที่ทางออกของอุโมงค์ลมในแนวอน



รูปที่ 3ห การกระจายของความเร็วที่ทางออกของอุโมงค์ลมในแนวตั้ง

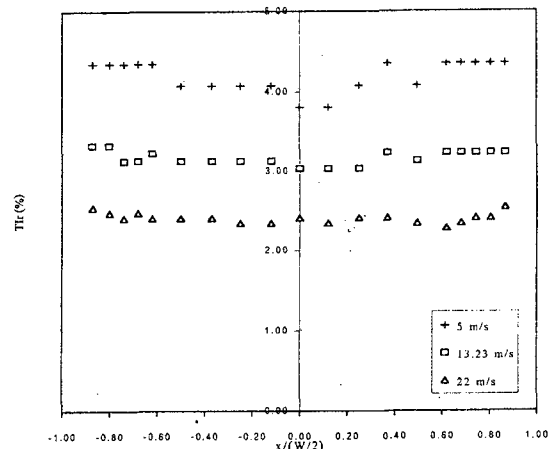
จากการทดสอบอุโมงค์ลมที่ได้โดยใช้ท่อพิโถสติกิตตี้ (Pitot static tube) เพื่อหาความเร็ว ณ จุดต่าง ๆ ตรงจุดที่ออกจากคอนแทรคชัน โคนพ่วง บริเวณส่วนใหญ่ของอุโมงค์ลม ($-0.8 < x/(W/2) < 0.8$ และ $-0.8 < y/(H/2) < 0.8$) จะมีความแปรผันของความเร็วไม่เกิน 2% ดังแสดงในรูปที่ 3 ยกเว้นในกรณีความเร็วต่ำซึ่งอาจจะเกิดความผิดพลาดจากการอ่านระดับน้ำในманอยเมเตอร์ซึ่งมีความแตกต่างกันค่อนข้างมาก ในที่นี่ W คือความกว้าง และ H คือความสูงของพื้นที่หน้าตัดส่วนที่ใช้ทดสอบของอุโมงค์ลม ส่วน turbulent intensity วัดโดยใช้ hot-wire anemometer มีค่าประมาณ 2% สำหรับที่ความเร็วสูงสุด ดังแสดงในรูปที่ 4

3.2 การวัดความเร็ว

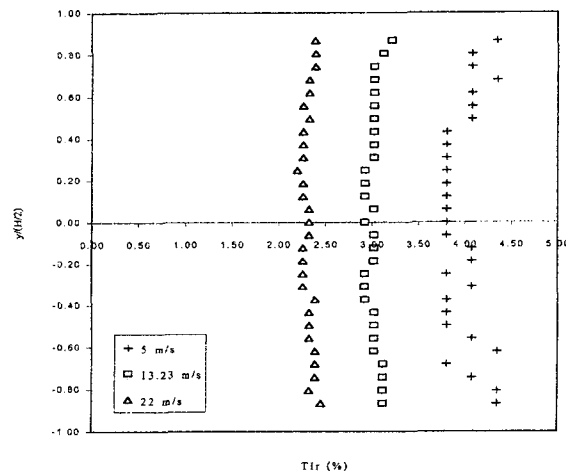
การวัดความเร็วของของไอลสามารถทำได้หลายวิธีแต่ในงานนี้จะใช้ท่อพิโถสติกิตตี้ (Pitot static tube) ต่อ กับ مانอยเมเตอร์ ความเร็วสามารถคำนวณได้จาก

$$U = \left(2g \frac{\rho_m}{\rho_a} \Delta z \right)^{1/2} \quad (3)$$

โดยที่ ρ_a คือความหนาแน่นของอากาศ ρ_m คือความหนาแน่นของของเหลวในマンอยเมเตอร์ และ (Δz) คือความแตกต่างของระดับของเหลวในมานอยเมเตอร์



รูปที่ 4ก Turbulence intensity ของความเร็วที่วัดออกมาได้ที่บีริเวณ กึ่งกลางของทางออกของอุโมงค์ลมในแนวอน



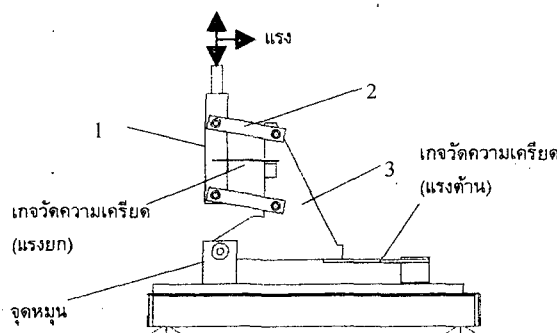
รูปที่ 4ห Turbulence intensity ของความเร็วที่วัดออกมาได้ที่บีริเวณ กึ่งกลางของทางออกของอุโมงค์ลมในแนวตั้ง

โดยมานอยเมเตอร์ที่ใช้ในการทุกด้านนี้เป็นมานอยเมเตอร์แบบ Gettingen ซึ่งมีลักษณะเป็นแบบหลอดแก้วขนาดไม่เท่ากัน (reservoir manometer) สามารถอ่านได้สามารถอ่านความแตกต่างได้ละเอียด กว่ามานอยเมเตอร์ตัวอยู่ปกติและสามารถอ่านค่าได้อย่างแม่นยำ เนื่องจากสามารถอ่านค่าความสูงของระดับน้ำที่สูงขึ้นได้จากเวอร์เนียที่ติดอยู่กับมานอยเมเตอร์ โดยเวอร์เนียที่มีความละเอียดในการอ่านถึง 0.05 มิลลิเมตร การอ่านค่าจะอาศัยกระจากเงาที่ติดอยู่ภายในเพื่อสะท้อนส่วนโถของระดับน้ำ ทำให้สามารถมองเห็นระดับน้ำได้ชัดเจนยิ่งขึ้น (ตำแหน่งที่สามารถอ่านค่าได้แม่นยำ) คือตำแหน่งที่ส่วนโถคงสัมผัสกัน พอดี) ในการทดลองความสามารถอ่านค่า h ได้ส่วนค่าความแตกต่าง ของระดับของเหลวที่แท้จริงมีค่าเท่ากับ $\Delta z = 0.10036 h$

3.3 ชุดวัดแรงด้านและแรงยก

หลักการที่ใช้ในการสร้างชุดวัดแรงด้านและแรงยกที่สำคัญ คือจะต้องแยกแรงด้านและแรงยกให้แบ่งเป็น 2 ส่วนให้มีความอิสระจากกันมากที่สุดซึ่งแสดงให้เห็นในรูปที่ 5 โดยเมื่อให้ล้มมาปะทะแบบจำลอง

และมีแรงยกมากกระทำ แรงจะส่งผ่านแกน 1 "ไปยังคานที่มีเกจวัดความเครียดที่ใช้วัดแรงยกโดยที่ไม่สามารถอ่านค่าแรงยกที่กระทำจาก data logger ได้ จากรูปที่ 5 จะเห็นได้ว่าแนวของแรงยกจะผ่านจุดหมุนของส่วนที่ 3 ซึ่งอยู่ด้านล่าง โดยจะไม่ทำให้เกิดโมเมนต์สั่งไปยังคานที่มีเกจวัดความเครียดใช้วัดแรงต้านติดอยู่ ในกรณีที่มีแรงต้านมากกระทำ แรงจะส่งจากแกน 1 ผ่านกลไก 2 "ไปยังส่วนที่ 3 และส่วนที่ 3 นี้ ก็จะไปกดคานที่มีเกจวัดความเครียดใช้วัดแรงต้านติดอยู่และอ่านค่าจาก data logger ได้ โดยจะไม่ส่งถ่ายแรงให้คานที่ใช้วัดแรงยก เพราะฉะนั้นการวัดแรงยกและแรงต้านจึงอิสระจากกันและสามารถวัดแรงยกและแรงต้านในเวลาเดียวกันได้จากรูปจะเห็นได้ว่าชุดกลไก 2 จะเอียงทำมุมเล็กน้อย เพื่อชดเชยหนักของแบบจำลองที่ต้องกดลงมาอีกเพื่อให้แกน 1 อยู่แนวเดียวกันกับจุดหมุน เพื่อให้มีความแม่นยำในการวัดแรงมากที่สุด



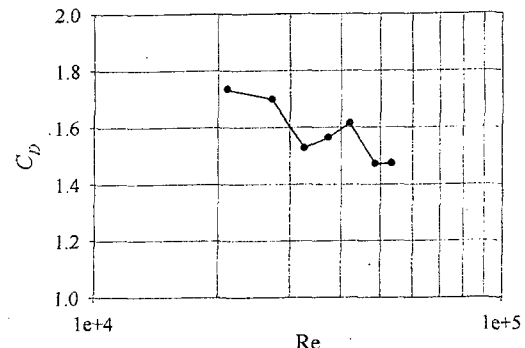
รูปที่ 5 อุปกรณ์วัดแรงต้านและแรงยกที่ใช้ในงานวิจัยนี้

สำหรับการวัดความเครียดที่เกิดขึ้นนั้น เราใช้เกจวัดความเครียดยี่ห้อ KYOWA รุ่น (KFRP-5-120-C1-1) สำหรับวัดแรงยกด้านขวา และยี่ห้อ TML รุ่น (PFL-10-11) สำหรับวัดแรงยกด้านซ้ายและแรงต้านชนิดเกจวัดความเครียดที่เลือกใช้ในที่นี้นำไปบิดตั้งกับวัสดุที่นำไฟฟ้าได้ ดังนั้นจึงเลือกชนิดที่เป็น Polyester แบบ Foil ซึ่งมีคุณสมบัติที่ไม่ naïve ไฟฟ้า และง่ายต่อการติดตั้งนอกจากนี้ยังมีช่วงการใช้งานที่เหมาะสมสำหรับงานทั่วไป ราคาไม่แพงมากนัก โดยมีความยาวประมาณ 5 ซม. เนื่องจากข้อจำกัดทางพื้นที่ที่จะติดตั้ง ความต้านทานที่ใช้มีค่า 120 โอมม์ ส่วน data logger ที่ใช้อยู่ที่ห้อ TML รุ่น TDS-302

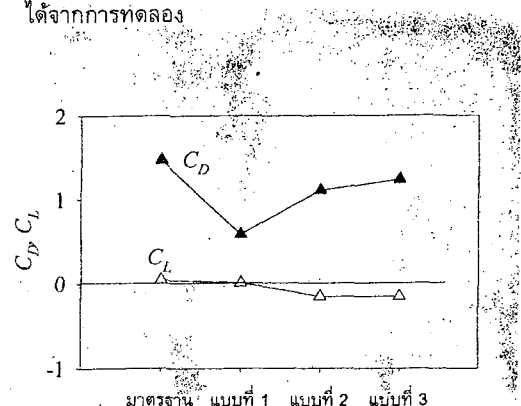
3.4 วิธีการทดลอง

อุปกรณ์วัดแรงต้านและแรงยกที่สร้างขึ้นมีลักษณะสามารถวัดแรงต้านและแรงยกที่เกิดขึ้นกับแบบจำลองได้อย่างอิสระจากกัน ในส่วนของการวัดแรงที่เกิดขึ้นได้ใช้ เกจวัดความเครียด (Strain gauge) มาประยุกต์ใช้ โดยต้องทำการปรับเทียบกับมวลมาตรฐานก่อนเพื่อนำไปสร้างสมการปรับเทียบ เพื่อเปลี่ยนค่าที่อ่านได้จาก data logger ให้เป็นแรงที่กระทำกับแบบจำลอง ในส่วนของการทดสอบนั้น เราต้องหาอัตราส่วนของแบบจำลองโดยจะต้องมีความคล้ายคลึงทางเรขาคณิต (Geometric Similarity) เทียบกับรัฐล้อเครื่องจริง และน้ำไปบิดตั้งบนอุปกรณ์วัดแรงต้านและแรงยก ซึ่งอุปกรณ์นี้จะถูกติดตั้งในส่วนทดลองในอุโมงค์ลมแล้วทำการวัดและบันทึกข้อมูลต่าง ๆ ที่ทดลอง เช่น ความเร็วลม แรง

ต่าง ๆ ที่กระทำ แล้วนำค่าที่ได้ไปหาความสัมพันธ์ เพื่อคำนวณหาสัมประสิทธิ์แรงต้านและสัมประสิทธิ์แรงยกของแบบจำลองได้จากการ (1) และ (2) ตามลำดับ



รูปที่ 6 ความสัมพันธ์ของสัมประสิทธิ์แรงต้าน กับค่าเรย์โนลด์ของรัฐล้อเครื่องที่ไม่ได้มีการปรับปูรงโครงสร้างภายนอก ที่ได้จากการทดลอง

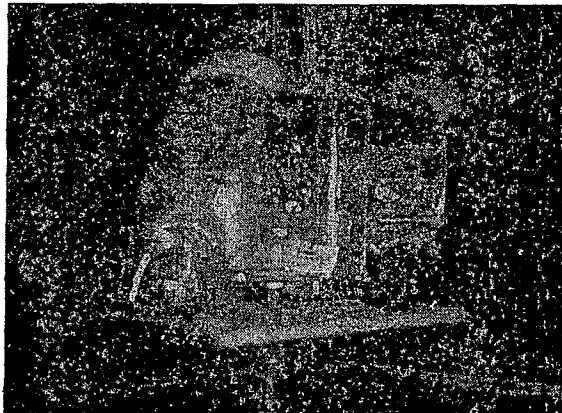


รูปที่ 7 การเปรียบเทียบผลที่ได้จากการปรับปูรงโครงสร้างภายนอกแบบต่าง ๆ ที่ค่าเรย์โนลด์เท่ากับ $5.32E+04$ โดยแบบที่ 1 คือไส้แผ่นปิดด้านหน้าและด้านข้าง แบบที่ 2 คือติดสปอยเลอร์ด้านหน้าและด้านข้าง แบบที่ 3 คือ ติดสปอยเลอร์ด้านหลังของหลังคาพร้อมทั้งไส้แผ่นปิดด้านหน้าและด้านข้าง

4. ผลการทดลอง

จากการทดลองกับแบบจำลองรัฐล้อเครื่องที่ไม่ได้มีการปรับปูรงโครงสร้างภายนอกซึ่งมีอัตราส่วนเท่ากับ 1:19 ของรัฐต้นแบบ ที่ความเร็วลมต่าง ๆ พบรากрафแสดงความสัมพันธ์ระหว่างสัมประสิทธิ์แรงต้าน กับค่าเรย์โนลด์ (Reynolds number) มีลักษณะดังรูปที่ 6 ซึ่งมีค่าเท่ากับ 1.47 ณ ค่าเรย์โนลด์เท่ากับ $5.32E+04$ (ความเร็วลมเท่ากับ 21.5 m/s) และมีค่าสูงถึง 1.74 ณ ค่าเรย์โนลด์เท่ากับ $2.10E+04$ (ความเร็วลมเท่ากับ 8.5 m/s) ส่วนสัมประสิทธิ์แรงยกมีค่าเป็นบวกเพียงเล็กน้อย (0.048)

ในกรณีที่ทำการทดสอบเพื่อที่จะทำการปรับปรุงโครงสร้างภาย นอกของรถสามล้อเครื่องจะเบรย์เบนี้บ์ที่ค่าเรย์โนล์ด์ส์เท่ากับ $5.32E+04$ ซึ่งเป็นความเร็วสูงสุดของอุโมงค์ลมที่ใช้ พบว่าค่าที่ได้จากการปรับปรุงโครงสร้างภาย นอกแบบต่าง ๆ มีผลทำให้ได้ค่าสัมประสิทธิ์ แรงดันและแรงยกเปลี่ยนไปดังแสดงในรูปที่ 7 นั้นคือแบบจำลองที่เพิ่มแผ่นปิดด้านหน้าและด้านข้าง (แบบที่ 1) สัมประสิทธิ์แรงดันมีค่าเท่ากับ 0.59 หากติดสปอยเลอร์ด้านหน้าและด้านหลังของหลังคาและใส่แผ่นปิดด้านหน้าและด้านข้าง (แบบที่ 2) สัมประสิทธิ์แรงดันมีค่าเท่ากับ 1.11 และถ้าติดเฉพาะ สปอยเลอร์ด้านหลังของ หลังคาพร้อมทั้งใส่แผ่นปิดด้านหน้าและด้านข้าง (แบบที่ 3) สัมประสิทธิ์แรงดันมีค่าเท่ากับ 1.24 ส่วนสัมประสิทธิ์แรงยกมีค่าเท่ากับ 0.012 (แบบที่ 1) -0.152 (แบบที่ 2) และ -0.150 (แบบที่ 3) รูปที่ 8 แสดงให้เห็นถึงแบบจำลองของรถสามล้อเครื่องที่มีการปรับปรุงโครงสร้างภาย นอก โดยการติดสปอยเลอร์ด้านหน้าและด้านหลังของหลังคาและใส่แผ่นปิดด้านหน้าและด้านข้าง



รูปที่ 8 แบบจำลองที่มีการปรับปรุงโครงสร้างภาย นอก โดยการติดสปอยเลอร์ด้านหน้าและด้านหลังของหลังคา และใส่แผ่นปิดด้านหน้าและด้านข้าง

5. สรุป

ผลที่ได้จากโครงการนี้ ทำให้สามารถวิเคราะห์ค่าสัมประสิทธิ์ แรงดันและแรงยกของรถสามล้อเครื่องที่ไม่ได้ปรับปรุงโครงสร้างภาย นอกและมีการปรับปรุงโครงสร้างภาย นอกแบบต่าง ๆ ได้ ซึ่งค่าเหล่านี้ จะมีส่วนช่วยในการนำไปใช้เป็นแนวทางสำหรับการออกแบบและปรับปรุงโครงสร้างภาย นอก เพื่อให้ได้ลักษณะทางอากาศพลศาสตร์ที่ตรงกับความต้องการของผู้ใช้ จากน้อมูลที่ได้จากการทดลองจะเห็นได้ว่า การปรับปรุงโครงสร้างแบบที่ 1 มีค่าสัมประสิทธิ์แรงดันน้อยที่สุด แต่ถ้าที่ต้องการแรงดันที่เพิ่มขึ้น (แบบที่ 2 และแบบที่ 3) เพื่อให้มีความสามารถในการควบคุมการขับได้ดีขึ้นเนื่องจากมีการเก็บกัน แต่ก็จะทำให้มีผลของแรงด้านที่เกิดขึ้นมีค่ามากตามไปด้วย ใน การทดลองนี้ เรายังวิเคราะห์การปรับปรุงโครงสร้างภาย นอกแบบที่ 1 เป็นแบบที่ดีที่สุด เนื่องจากทำให้สัมประสิทธิ์แรงดันลดลงอย่างมากเมื่อเปรียบเทียบกับการปรับปรุงโครงสร้างแบบอื่น ๆ ผลที่ได้จากการทดลองนี้สามารถนำไปประยุกต์กับการใช้งานจริงได้ถ้ามีการออกแบบรูปทรงด้านหน้าของ

แผ่นปิดให้สามารถผลิตได้ง่ายและมีราคาถูก การวิเคราะห์ข้อมูลที่ได้จากการทดลองจะมีความซัดเจนมากขึ้นถ้าได้มีการทดลองที่ทำให้เห็นลักษณะการไหลของกระแสลมที่ไหลผ่านแบบบ่าลง (flow visualization) ก็จะทำให้สามารถวิเคราะห์ ออกแบบ ปรับปรุงโครงสร้างภาย นอกของ รถสามล้อเครื่องได้ดีขึ้นกว่านี้ โดยวิธี Flow visualization จะเป็นหัวข้อศึกษาต่อไปในอนาคต

6. กิจกรรมประภาก

ผู้เขียนขอขอบคุณโครงการ JICA (Japan International Cooperation Agency) ที่ให้การสนับสนุนด้านการเงินแก่โครงการวิจัยนี้

เอกสารอ้างอิง

- [1] สุนันท์ ครรภัยนิตย์, กลศาสตร์ของไฟล์, สมาคมส่งเสริมเทคโนโลยี (ไทย-ญี่ปุ่น), กรุงเทพ, 2542.
- [2] ชีระยุทธ สุวรรณประทีป, วิศวกรรมยานยนต์, วิทยพัฒนา, กรุงเทพฯ, 2543.
- [3] A. Pimpin and A. Bunyajitradulya, "The Design and Development of the FMRL 60x18 cm² Wide-Angle Screened Diffuser Blower Tunnel--Part I: General Design Considerations," Proceeding of the 13th National Mechanical Engineering Conference, Vol. 2, 1999, pp. 13-26.
- [4] W. H. Hucho, *Aerodynamics of Road Vehicle*, 4th ed., SAE international, N.Y., 1997.
- [5] J. B. Franzini and E.J. Finnemore, *Fluid Mechanics with Engineering Applications*, 9th ed., McGraw-Hill, N.Y., 1977.
- [6] F. M. White, *Fluid Mechanics*, 4th ed., McGraw-Hill, N.Y., 1999.
- [7] Kyowa Electronic instruments CO., LTD, Operation Manual of Stain Gauge.
- [8] Tokyo Sokki Kenkyujo Co., Ltd., *Operation Manual TML Portable Data Logger Model TDS-302*.